

## **Improving the texture of shrimp nugget produced from surimi in combination with carrageenan, alginate and xanthan**

**Introduction:** In the present study, surimi was used in combination with different percentages of carrageenan, alginate and xanthan gums in order to simulate breaded shrimp and produce shrimp nugget with a texture similar to breaded shrimp.

**Materials and Methods:** Shrimp nuggets were prepared from surimi obtained from silver carp in combination with additives and different percentages (0.5, 1, 1.5 and 2) of carrageenan, alginate and xanthan. Then, they were battered and breaded after setting in 35°C. Physical, chemical, color and sensory analysis were performed on the several samples of shrimp nuggets in comparison with the control sample (battered and breaded shrimp).

**Results and Discussion:** Based on the results, the amount of shrinkage decreased in all samples in comparison with the control ( $p < 0.05$ ). Shrimp nuggets containing xanthan and alginate showed a lower amount of fat than control sample and samples containing carrageenan ( $p < 0.05$ ). The highest amount of pH value was observed in the control sample and the sample containing 2% alginate was showed the highest amounts of water holding capacity. The highest value of texture analysis including hardness, springiness and adhesion were observed in the control samples, the samples containing carrageenan and the one containing alginate, respectively ( $p < 0.05$ ). The sample containing 1% carrageenan showed the highest amount of the sensory attributes of taste, smell, texture and overall acceptance, but compared to the control, there were not any significant difference ( $p > 0.05$ ).

**Keywords:** Breaded shrimp, Fish nugget, Gum, Sensory analysis.

# بهبود بافت ناگت میگوی تولیدی از سوریمی ماهی در ترکیب با کارازینان، آژینات و زانتان

بهاره شعبان‌پور<sup>\*</sup>، پرستو پور‌عاشوری<sup>آ</sup>، ایسنه جمشیدی<sup>آ</sup>، کاوه رحمانی‌فرح<sup>آ</sup>، اکبر وجودان طالشمیکائیل<sup>۳</sup>

۱. بهاره شعبان‌پور، استاد گروه فرآوری محصولات شیلاتی، دانشگاه علوم کشاورزی و منابع طبیعی گرگان  
نویسنده مسئول: [shabanpour@gau.ac.ir](mailto:shabanpour@gau.ac.ir)

<https://orcid.org/0000-0001-6632-5893> شناسه ارکید

۲. پرستو پور‌عاشوری، دانشیار گروه فرآوری محصولات شیلاتی، دانشگاه علوم کشاورزی و منابع طبیعی گرگان.
۳. ایسنه جمشیدی، گروه شیلات، دانشکده منابع طبیعی دریا، دانشگاه علوم و فنون دریایی خرمشهر
۴. کاوه رحمانی‌فرح، استادیار پژوهشکده تحقیقات دریاچه ارومیه، دانشگاه ارومیه.
۵. اکبر وجودان طالشمیکائیل، فارغ‌التحصیل رشته فرآوری محصولات شیلاتی، دانشگاه علوم کشاورزی و منابع طبیعی گرگان.

## چکیده

در تحقیق حاضر از سوریمی قوام یافته در ترکیب با درصدهای مختلف کارازینان، آژینات و زانتان به منظور شبیه‌سازی میگو سوخاری و تولید ناگت میگو با بافتی مشابه میگو سوخاری استفاده شد. ناگت‌های میگو از ترکیب سوریمی حاصل از ماهی کپور نقره‌ای در ترکیب با افزودنی‌ها و درصدهای مختلف (۰/۰، ۱/۰ و ۲/۰) کارازینان، آژینات و زانتان تهیه شدند و پس از قوام‌یابی در دمای  $35^{\circ}\text{C}$  تحت فرایند سوخاری شدن قرار گرفتند. آزمایشات فیزیکی، شیمیایی، رنگ‌سنجدی و حسی بر تیمارهای تولیدی در مقایسه با تیمار شاهد (میگو سوخاری) انجام گرفت. بر اساس نتایج حاصل، مقدار چروکیدگی در کلیه تیمارها در مقایسه با شاهد کاهش یافت ( $p < 0.05$ ). تیمارهای حاوی زانتان و آژینات مقدار چربی کمتری را نسبت به تیمار شاهد و تیمارهای حاوی کارازینان نشان دادند ( $p < 0.05$ ). بالاترین مقدار pH در تیمار شاهد و بالاترین مقدار ظرفیت نگهداری آب در تیمار حاوی ۲ درصد آژینات مشاهده شد. بالاترین مقادیر شاخص‌های بافت‌سنجدی شامل سختی، فنریت و چسبندگی به ترتیب در تیمارهای شاهد، تیمارهای حاوی کارازینان و تیمارهای حاوی آژینات مشاهده شدند ( $p < 0.05$ ). تیمار حاوی ۱ درصد کارازینان بالاترین مقادیر شاخص‌های حسی طعم، بو، بافت و پذیرش کلی را دریافت کرد ولی در مقایسه با نمونه شاهد اختلاف معنی‌داری را نشان نداد.

**کلمات کلیدی:** آنالیز حسی، سوریمی، صمخ، میگو سوخاری، ناگت میگو.

افزایش تقاضای مصرف کنندگان نسبت به محصولات آماده یکی از روندهای رو به افزایش در مصرف غذاهای دریایی است. یکی از راه حل های استراتژیک در افزایش در دسترس بودن این محصولات طبق عادتهای امروز افراد جامعه، وجود غذاهای آماده مصرف است (Pourashouri *et al.*, 2013; 2020; 2022). در میان غذاهای آماده مصرف، گوشت ماهی به عنوان منبع غنی از پروتئین با قابلیت هضم آسان و ارزش بیولوژیکی بالا که قادر است ویتامین ها، مواد معدنی و اسیدهای چرب مفید را در دسترس قرار دهد، جایگاه خاصی پیدا کرده است. این منابع می توانند در تولید فراورده های با ارزش افزوده مورد استفاده قرار گیرند (Hannan *et al.*, 2022). تکنولوژی شناخته شده در جهت استفاده از ماهیان و تولید فراورده های با ارزش افزوده، تولید مینس و سوریمی ماهی است که عنوان فراورده های حد واسط برای تولید محصولات با ارزش افزوده و آماده مصرف مانند سوسیس ماهی، کیک و کلوچه ماهی، ناگت و فراورده های شبیه سازی شده مورد استفاده قرار می گیرند (Yingchutrakul *et al.*, 2022). از میان ماهیان سفید گوشت، ماهیان پرورشی مانند کپور نقره ای (Hypophthalmichthys molitrix) را می توان نام برد که بسیار ارزان تر از ماهیان دریایی بوده و از نظر اقتصادی استفاده از آن ها به عنوان ماده اولیه مقرر می باشد (Li *et al.*, 2021).

پس از ماهی در غذاهای دریایی، نرم تانی مانند لاستر، میگو و گرچنگ به دلیل طعم منحصر به فرد و ویژگی های پخت مناسب بالاترین میزان صید را دارند. ویژگی هایی مانند طعم ملایم (فائد بودی تندر ماهی)، راحتی آماده سازی، رنگ سفید و کیفیت پایدار باعث ترجیح میگو Gulzar (and Benjakul, 2020). اگرچه تقاضای بالایی برای مصرف میگو وجود دارد اما به دلیل صید بی رویه، در دسترس بودن آن، دچار کاهش شده است. در این زمینه، غذاهای دریایی شبیه سازی شده به عنوان محصولات شبیه سازی شده با توجه به قیمت پایین آن محبوبیت زیادی یافته اند. محصولات شبیه سازی شده از منابع پروتئینی ماهی با قیمت پایین یا سوریمی تهیه و به صورت یک ماده غذایی شبیه سازی شده لوکس با قیمت بالا طراحی می شود (Sun and Holley, 2011; Hannan *et al.*, 2022).

ناگت میگو محصولی کاملاً شبیه میگو سوخاری است که از سوریمی همراه با دیگر ترکیبات مناسب برای تعديل بافت و اصلاح مزه تولید می شود. این فراورده آماده مصرف، دارای طعم، بافت و ظاهری شبیه میگوی حقیقی بوده که از طریق استخراج پروتئین های میوفیبریل، حل کردن آن ها در نمک، افزودن نشاسته و طعم دهنده، اعمال حرارت قوام یابی، قالب گیری و پخت نهایی تولید می گردد. مهم ترین خاصیت سوریمی توانایی تشکیل ژل است. ژل حالت واسطه ای بین جامد و مایع است که در ساختمان آن رشته های پروتئینی از طریق ارتباط متقاطع، یک شبکه پیوسته ایجاد می کنند (Sun and Holley, 2011). تولید ژل از پروتئین ماهی مهم ترین مرحله تشکیل بافت مناسب برای تولید بسیاری از غذاهای دریایی است. خواص کاربردی، بخصوص استحکام ژل و ظرفیت نگهداری آب، توسط شرایط فیزیکی مانند غلظت پروتئین، قدرت یونی، دما و دوره حرارت دهی تحت تاثیر قرار می گیرد (Chen *et al.*, 2021). تشکیل شبکه ژلی ناشی از حرارت که به شدت تحت تاثیر دما و زمان حرارت دهی می باشد، روی خواص بافتی پروتئین های غذایی و رنگ ژل سوریمی اثر دارد.

ترکیباتی که به بافت سوریمی افزوده می‌شوند باید اثر مثبتی در ویژگی‌های بافتی و رطوبتی محصول داشته باشند. در تحقیقی اثر افزودن فیبرهای خوراکی گندم و جودوسر را برکیفیت و جلوگیری از تغییر شکل فرآورده تقلیدی می‌گو توییدی از سوریمی ماهی فیتوفاگ مورد بررسی قرار دادند. این محققان نشان دادند افزودن ۶ درصد فیبرجودوسر در مقایسه با فیبرگندم بر خواص بافتی و تغییر شکل ناشی از سرخ شدن ناگت می‌گویی شبیه‌سازی شده اثر مطلوبی داشت (Heydari *et al.*, 2016). از عمدۀ ترین ترکیبات دیگری که در محصولات ارزش افزوده استفاده می‌شوند هیدروکلولئیدهایی هستند که از طریق برهمنکنش با پروتئین‌های میوفیبریل و اثر بر شبکه‌ی ژلی سوریمی، باعث حفظ ظرفیت نگهداری آب و کمک به بهبود کیفیت ژل سوریمی می‌شوند (Núñez-Flores *et al.*, 2018). کاراژینان پلی‌ساکاریدی است که از یک نوع جلبک (*Chondrus crispus*) استخراج می‌شود و به جهت اثرات تثبیت‌کنندگی و ساختار منحصر به فردی که دارد، همانند جانشین‌های چربی به طور گسترده‌ای در صنایع غذایی مورد استفاده قرار می‌گیرد. از کاراژینان به میزان ۱/۰٪ درصد در فرمولاسیون فراورده‌های شبیه‌سازی شده بر پایه سوریمی استفاده می‌شود. (Emo *et al.*, 2013). آژینات هیدروکلولئیدی به رنگ سفید تا قهوه‌ای مایل به زرد است که از جلبک‌های دریایی قهوه‌ای بدست می‌آید و به عنوان یک افزودنی در غذاهای دریایی حاصل از سوریمی استفاده می‌شود. آژینات دارای خواصی مانند قوام‌بخشی، یابیدارکنندگی، تعلیق، تولید ژل و تثبیت امولسیون بوده و جهت اهداف مختلف در غذاها، مواد دارویی و سایر محصولات صنعتی مورد استفاده قرار می‌گیرد (Hauzoukim *et al.*, 2019). در بررسی اثر استفاده از آژینات بر خصوصیات بافتی ژل سوریمی مشخص شد که افزودن آژینات سبب افزایش توانایی نگهداری آب و سختی ژل می‌شود اما از چسبندگی ژل می‌کاهد (Galus *et al.*, 2013). صمغ زانتان پلی‌ساکارید خارج سلولی است که توسط انواعی از باکتری زانتوموناس متعلق به خانواده *Pseudomonadaceae* تولید می‌شود. زانتان علی‌رغم وزن مولکولی زیاد به سادگی در آب سرد و گرم حل می‌شود و حتی در مقدار کم، محلول بسیار غلیظی ایجاد می‌کند. تغییرات pH اثر چندانی بر ویسکوزیته ایجاد شده توسط زانتان ندارد. در نتیجه می‌توان از آن در بسیاری از سیستم‌های غذایی استفاده کرد (Hasanpour *et al.*, 2012). از این رو بر اساس نتایج تحقیقات دیگر محققان، صمغ‌های کاراژینان، آژینات و زانتان به دلیل ویژگی‌های عملگری مناسب با هدف تولید ناگت می‌گو، با بافتی مشابه می‌گو سوخاری با استفاده از سوریمی قوام‌یافته در ترکیب با درصدهای مختلف صمغ‌ها، مورد استفاده قرار گرفتند. در این راستا، پس از تولید ناگت‌های می‌گویی شبیه‌سازی شده و انجام آزمایشات مربوطه، بهترین نوع هیدروکلولئید و موثرترین درصد آن در ترکیب با سوریمی ماهی کپور نقره‌ای جهت تولید ناگت می‌گو انتخاب می‌گردد.

## ۲- مواد و روش‌ها

### ۱-۱- مواد مصرفی

جهت تولید تیمارهای مختلف می‌گو سوخاری، می‌گویی تازه از مزرعه پرورش می‌گو و ماهی کپور نقره‌ای تازه از بازار ماهی فروشان خریداری شده و با یخ پوشی مناسب به آزمایشگاه فرآوری دانشگاه علوم کشاورزی و منابع طبیعی گرگان منتقل شدند. آرد گندم، آرد گلوتن، نشاسته، بکینگ پودر و نمک از بازار محلی تهیه شدند. آرد سوخاری از شرکت شیرین پارت ایرانیان خریداری شد. مواد شیمیایی با درجه آزمایشگاهی از شرکت سیگما (Darmstadt, Germany) تهیه شدند.

## ۲-۲- تهیه سوریمی

از ماهی‌های کپور نقره‌ای پس از شستشو، سرزنی و تخلیه امعاء و احشا، فیله تهیه شده و پس از جداسازی گوشت‌های تیره و شستشوی فیله‌های ماهی، پوست و استخوان فیله‌های حاصل توسط دستگاه استخوان‌گیر جداسازی شد. از مینس ماهی حاصل پس از سه مرحله شستشو با آب سرد، سوریمی تولید گردید. به منظور تهیه سوریمی، گوشت چرخ شده طی سه سیکل ۱۰ دقیقه‌ای شستشو شد (Shabani et al., 2007). برای محاسبه دقیق میزان آب مورد نیاز برای شستشو، از دو ظرف استفاده شد. ظرف فلزی کوچک‌تر، حاوی گوشت چرخ شده و آب ۴ درجه سانتیگراد به نسبت یک به سه درون ظرف بزرگ‌تر حاوی مخلوط آب و یخ با دمای ۲ تا ۳ درجه سانتیگراد قرار گرفت. گوشت چرخ شده و آب به آرامی به مدت ۱۰ دقیقه مخلوط شدند سپس مخلوط حاصل با استفاده از پارچه تنظیف دولایه آبگیری شد. مرحله دوم و سوم شستشو نیز مانند مرحله اول تکرار شد، با این تفاوت که در مرحله‌ی سوم جهت آبگیری بهتر، از آب نمک  $\frac{1}{3}$  درصد استفاده شد. سوریمی حاصل در زیپ کیپ بسته‌بندی شد و تا روز تولید ناگت میگو در فریزر -۲۰ درجه سانتیگراد نگهداری شد.

## ۲-۳- تولید میگوی سوخاری و ناگت میگو

از میگوها برای تولید میگوی کامل سوخاری شده استفاده شد. میگوها پس از پاکسازی در محلول نمکی حاوی  $\frac{1}{5}$  گرم در لیتر نمک و تری‌پلی‌فسفات با دمای ۴ درجه سانتیگراد به مدت ۴۰ دقیقه غوطه‌ور شدند. پس از شستشو با آب سرد و چکاندن آب اضافی به مدت ۵ دقیقه، میگوها به ترتیب تحت فرایند آردزنی اولیه، غوطه‌وری در لعاب و پوشش دهی با آرد سوخاری قرار گرفتند. فرمول لعاب مورد استفاده شامل ۵۵ درصد آرد گندم، ۳۰ درصد نشاء، ۱۰ درصد گلوتون، ۲ درصد بیکینگ پودر و ۳ درصد نمک بود که با نسبت یک مواد خشک و یک و نیم آب (۱۰ درجه سانتیگراد) مخلوط شد (Jamshidi and Shabani, 2014).

جهت تولید ناگت میگو، سوریمی ماهی کپور نقره‌ای با ترکیباتی مانند نشاء (۷ درصد)، نمک ( $\frac{2}{5}$  درصد)، سیر ( $\frac{1}{5}$  درصد)، ادویه‌جات (فلفل قرمز  $\frac{1}{10}$  درصد و جوز هندی  $\frac{1}{10}$  درصد)، پودر میگوی لیوفلیزه (۱ درصد) و صمغ‌های کاراثیتان، آثینات و زانتان با نسبت‌های مختلف  $\frac{1}{5}$ ،  $\frac{1}{5}$  و ۲ درصد ترکیب گردید. خمیر حاصل در قالب‌های فلزی مستطیل شکل در اندازه  $13 \times 5 \times 1/5$  قالب‌گیری شد و در دمای  $0^{\circ}\text{C}$  ۳۵ به مدت ۱ ساعت جهت قوام‌بایی قرار داده شد. پس از طی زمان قوام‌بایی، خمیر حاصل با استفاده از قالب میگویی شکل، قالب‌گیری شد و قطعات حاصل مانند تیمار شاهد تحت مراحل پوشش دهی و سوخاری کردن قرار گرفتند.

پس از کامل شدن پوسته سوخاری، میگوهای سوخاری و ناگت‌های میگوی تولیدی با استفاده از روغن گیاهی آفتتابگردان (مخصوص سرخ کردن، اویلا-ایران) به مدت ۳۰ ثانیه در سرخ کن (Moulinex Toucan ADR2) تحت دمای ۱۸۰ درجه سانتیگراد به صورت مقدماتی به روش سرخ کردن عمیق سرخ شده و پس از خنک شدن در دمای محیط، تکرارهای هر تیمار جدایی دارند. پس از خنک شدن در فریزر -۲۰ درجه سانتیگراد متجمد گردیدند.

به منظور انجام آزمایشات فیزیکی، بافت سنجی، رنگ سنجی و حسی، از تیمارهای مختلف به طور تصادفی نمونه برداری انجام شده و پس از انجماد زدایی در دمای محیط، آزمایشات مربوطه در سه تکرار بر روی آنها صورت گرفت. برای آنالیز حسی، میگوهای سوخاری در رونگ آفتابگردان به مدت ۳ دقیقه در سرخ کن (Moulinex Toucan ADR2) سرخ شدند.

#### ۴-۴- اندازه‌گیری مقادیر رطوبت و چربی

مقدار رطوبت نمونه‌ها بر اساس اختلاف وزن اولیه (بر حسب وزن خشک) و وزن ثانویه پس از خشک کردن در آون (WT-binder 7200, Germany) با دمای ۱۰۵ درجه سانتیگراد پس از ۲۴ ساعت، محاسبه شد. از دستگاه سوکسله (Gerhardt, Germany) برای اندازه‌گیری مقدار چربی نمونه‌ها استفاده شد. استخراج چربی با استفاده از پترولیوم اتر و طی ۲/۵ ساعت انجام شد (AOAC, 2000).

#### ۴-۵- اندازه‌گیری pH

مقدار ۵ گرم از نمونه‌های سرخ شده در ۱۰ میلی‌لیتر آب م قطره هموژنیزه شد و مقدار pH نمونه‌ها با استفاده از pH متر (Metrohm model) اندازه‌گیری شد. (713)

#### ۶-۲- مقدار رطوبت تحت فشار

مقدار ۵ گرم نمونه (Wi) درون کاغذ فیلتر پیچیده شده و داخل لوله فالکون (۵۰ میلی‌لیتری) قرار داده شد. پس از سانتریفیوژ (Eppendorf centrifuge 5810 R, Germany) در دور  $\times 10000$  g طی ۱۵ دقیقه، وزن ثانویه نمونه‌ها (Wf) اندازه‌گیری شد و مقدار رطوبت تحت فشار بر اساس معادله (۱) محاسبه شد (Ramirez et al., 2010):

$$(1) \quad \text{آب قابل بیان} = \left( \frac{Wt - Wf}{Wi} \right) \times 100$$

#### ۷-۲- اندازه‌گیری بازده محصول و مقدار چروکیدگی

برای محاسبه‌ی بازده محصول، نمونه‌های سرخ شده مقدماتی توزین شده و وزن اولیه (A) آنها یادداشت شد. پس از فرایند سرخ کردن نهایی، نمونه‌ها مجدد (B) توزین شدند و بر اساس معادله (۲) مقدار بازده محصول محاسبه شد:

$$(2) \quad \text{بازده محصول} = \left( \frac{B}{A} \right) \times 100$$

قطر (D) و ضخامت (T) هر نمونه قبل از سرخ کردن (A) و پس از فرایند سرخ کردن نهایی (B) اندازه‌گیری شد و میزان چروکیدگی طبق معادله (۳) محاسبه شد (Jamshidi and Shabanzpour, 2014):

$$(3) \quad \text{چروکیدگی} (\%) = \left( \frac{(TB - TA) + (DB - DA)}{(TB + DB)} \right) \times 100$$

## ۸-۲- رنگ‌سنجدی

از دستگاه Lovibond (CAM-system, England 500, Amesbury, UK) برای اندازه‌گیری پارامترهای رنگ‌سنجدی استفاده شد. متغیر L\* برای بیان شاخص روشنایی از ۰ (بعد سیاهی) تا ۱۰۰ (بعد سفیدی)، شاخص a\* برای بیان بعد قرمزی-سبزی (a\*+a\*) نشان‌دهنده قرمزتر Nino et al., ۲۰۲۲ و a\*-نشان‌دهنده سبزتر) و شاخص b\* برای بیان بعد زرد-آبی (b\*+b\*) نشان‌دهنده زردر و b\*-نشان‌دهنده آبی‌تر) می‌باشد (Nino et al., 2022).

## ۹-۲- بافت‌سنجدی

باft سنجدی نمونه‌ها با استفاده از دستگاه Texture analyzer LFRA 4500 (Brook field) انجام شد. جهت این آزمایش نمونه‌ها توسط پروف چاقویی شکل (TA7) یک بار با سرعت ۱ میلیمتر بر ثانیه برش خوردن. بار وارد شده<sup>۱</sup> ۲۵ kg، نقطه شروع<sup>۲</sup> ۵ g و نقطه هدف<sup>۳</sup> ۲۰ میلیمتر بود. پارامترهایی که تعیین شد شامل چسبندگی، تغییر شکل، فنریت و سختی بودند (Huda et al., 2013).

## ۱۰-۲- آنالیز حسی

به منظور ارزیابی شاخص‌های شکل ظاهری، طعم، بو، بافت، ظاهر و پذیرش کلی ناگت‌های میگو تولیدی، به مدت ۳ دقیقه در سرخ‌کن تحت دمای ۱۸۰ درجه سانتیگراد در روغن آفتابگردان سرخ شدند و توسط ۱۵ نفر از دانشجویان دانشگاه کشاورزی و منابع طبیعی گرگان (رده سنی ۲۵ تا ۳۰ سال) مورد ارزیابی قرار گرفتند. با استفاده از آزمون هدونیک<sup>۴</sup> مرتبه‌ای، ارزیابان به شاخص‌های حسی بر اساس جداول ارزیابی، از یک تا نه امتیاز دادند (بی‌نهایت بد: ۱، بی‌نهایت عالی: ۹). (Nino et al., 2022)

## ۱۱-۲- آنالیز آماری

جهت مقایسه تیمارها با تیمار شاهد، از آنالیز یک‌طرفه (one way ANOVA) با کمک نرم افزار SPSS استفاده شد و مقایسه میانگین داده‌ها با استفاده از آزمون چند دامنه‌ای دانکن در سطح احتمال  $\alpha = 0.05$  انجام گرفت. برای آنالیز داده‌های حسی از آزمون‌های ناپارامتری کروسکال‌والیس (برای مقایسه چند گروه) و من‌ویتنی (برای مقایسه دو گروه با یکدیگر) استفاده گردید. نتایج داده‌ها با ۳ تکرار بصورت میانگین  $\pm$  انحراف معیار ارائه شده است.

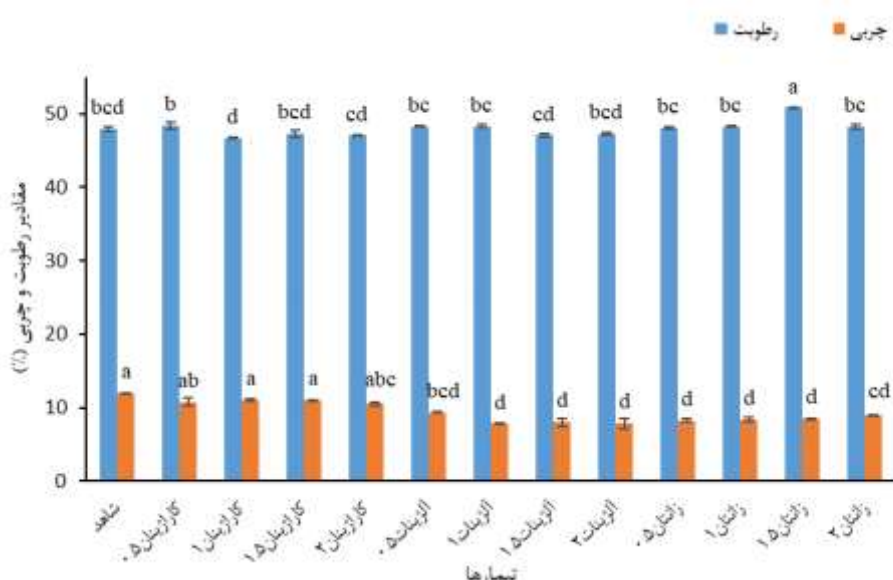
## ۳- نتایج و بحث

### ۳-۱- رطوبت و چربی

<sup>۱</sup> - Load cell  
<sup>۲</sup> - Trigger force  
<sup>۳</sup> - Blade displacement

شکل ۱ مقادیر رطوبت و چربی تیمارهای مختلف ناگت میگو و شاهد (میگو سوخاری) را نشان می‌دهد. تیمار شاهد اختلاف معنی‌داری با سایر تیمارها نشان نداد ( $p > 0.05$ ). تیمار حاوی ۱/۵ درصد زانتان بالاترین مقدار رطوبت را در مقایسه با سایر تیمارها نشان داد ( $p < 0.05$ ). افزایش درصد هیدروکلوفیدها اختلاف معنی‌داری در مقادیر رطوبت تیمارهای حاوی آژینات و زانتان نشان نداد، در حالیکه مقدار رطوبت در تیمارهای حاوی کاراژینان با افزایش مقدار درصد هیدروکلوفید افزایش معنی‌داری یافت ( $p < 0.05$ ). احتمالاً شبکه‌ی ژلی تشکیل شده ناشی از برهمه‌کش صمخ کاراژینان و دمای انعقاد با به دام انداختن مولکول‌های آب، مانع از خروج رطوبت بیشتر در طی سرخ کردن می‌گردد که منجر به حفظ رطوبت بالاتر طی فرایند شد. ژانگ و همکاران (Zhang et al., 2016) نیز گزارش دادند که افزودن کاراژینان و کنجاک باعث بهبود بافت و ویژگی‌های ساختاری ژل سوریمی شد.

بر اساس شکل ۱، نتایج مقادیر چربی نشان داد که اختلاف معنی‌داری میان تیمار شاهد و تیمارهای حاوی درصدهای مختلف کاراژینان مشاهده نشد ( $p > 0.05$ ). در حالیکه، تیمارهای حاوی درصدهای مختلف آژینات و زانتان مقدار چربی کمتری را در مقایسه با تیمار شاهد نشان دادند ( $p < 0.05$ ). علت کاهش چربی در تیمارهای حاوی آژینات و زانتان نسبت به تیمارهای حاوی کاراژینان، می‌تواند به نحوه قرارگیری هیدروکلوفیدها در ارتباط با شبکه‌ی ژلی تشکیل شده مربوط باشد، بطوریکه باعث حفظ و استحکام شبکه ژلی طی فرایند سرخ کردن می‌شود و در نهایت جذب روغن را طی زمان سرخ کردن کاهش می‌دهد. نتایج حاصله با نتایج حق‌شناس و همکاران (Haghshenas et al, 2015) که اثر افزودن صمخ‌ها را بر ناگت میگو بررسی کرده بودند، همخوانی داشت. به نظر می‌رسد در تحقیق حاضر نیز، کاربرد صمخ‌های آژینات و زانتان ارتباط مستحکم‌تری را با شبکه‌ی ژلی سوریمی تشکیل دادند، به طوری که مانع خروج رطوبت و جذب روغن بیشتر طی فرایند سرخ کردن شدند. همانطور که نتایج نشان می‌دهد ارتباط مستقیمی میان افزایش رطوبت و کاهش چربی در تیمارهای حاوی زانتان مشاهده شد. نتایج این قسمت مشابه با نتایج گیبس و همکاران (Gibis et al., 2015) و چن و همکاران (Chen et al., 2008) بود که به ترتیب با مطالعه بر روی کلوچه ماهی سرخ شده و ناگت ماهی گزارش کردند ارتباط معکوسی میان کاهش رطوبت و افزایش چربی میان تیمارها در طی فرایند سرخ کردن عمیق وجود دارد.



شکل ۱- مقادیر رطوبت و چربی در تیمار شاهد (میگو سوخاری) و تیمارهای ناگت میگوی حاصل از سوریمی در ترکیب با درصدهای مختلف کاراژینان، آلزینات و زانتان

**Fig 1- Values of fat and water of control (battered and breaded shrimp) and shrimp nugget obtained from surimi in combination with different percentages of carrageenan, alginate and xanthan**

داده‌ها به صورت میانگین سه تکرار  $\pm$  انحراف میار بیان شده‌اند. حروف مختلف (a-d) در نمودار، نشان دهنده اختلاف معنی‌دار بین تیمارها می‌باشد ( $p<0.05$ ).

The data are expressed as the average of three replicates  $\pm$  standard deviation. Different letters (a-c) indicate significant differences between treatments ( $p<0.05$ ).

### ۲-۳- رطوبت تحت فشار، pH، چروکیدگی و بازده محصول

به نظر می‌رسد به دلیل تازگی مواد اولیه مورد استفاده (میگو و سوریمی) در تهیه ناگت‌های میگوی تولیدی، pH تیمارهای تولیدی پس از سرخ شدن نهایی، در محدوده خنثی قرار داشتند، اما مقدار pH، در تیمارهای ناگت میگوی تولید شده در مقایسه با تیمار شاهد، اختلاف معنی‌داری نشان داد ( $0.05 < p$ ) (جدول ۱). تیمار شاهد بالاترین و تیمار حاوی آلزینات ۱/۵ و ۲ درصد کمترین مقدار pH را نشان دادند. با افزایش مقدار کاراژینان و آلزینات، pH روند کاهشی و با افزایش مقدار زانتان، pH روند افزایشی نشان داد. Demirci (2014) گزارش کردند که با افزودن صمغ‌های کاراژینان، زانتان و گوار در کوفته، مقدار pH نمونه‌ها، پس از فرایند سرخ کردن افزایش یافت که مطابق با نتایج حاصل از افزودن صمغ‌های کاراژینان و آلزینات به ناگت میگو در تحقیق حاضر بود. تغییرات pH بر خواص بافت پیوندی و ماهیت پروتئین‌های میوفیبریل موثر بوده و در نتیجه تغییر میزان pH موجب تغییر آب‌گریزی و تغییر خواص کاربردی پروتئین‌ها می‌گردد (Das et al., 2011).

میان میزان جذب روغن، از دست رفتن رطوبت و ایجاد چروکیدگی در محصولات غذایی سرخ شده ارتباطی خطی وجود دارد و بطور کلی، میان میزان چروکیدگی و مقدار افت رطوبت محصول ارتباط مستقیمی موجود است (Jamshidi and Shabani, 2014). تشکیل و انبوهش شبکه ژلی از یک طرف و دناتوره شدن پروتئین‌ها از طرف دیگر نیز بر مقدار چروکیدگی محصول موثر می‌باشد (Nguyen, 2009). میان میزان چروکیدگی در تیمار شاهد مشاهده شد ( $0.05 < p$ ). هر چند که با توجه به نتایج رطوبت و چربی، انتظار می‌رفت صمغ بالاترین میزان چروکیدگی در تیمار شاهد مشاهده شد ( $0.05 > p$ ). به نظر می‌رسد صمغ‌ها در ترکیب با شبکه‌ی ژلی تشکیل شده، اثر مناسبی بر ممانعت از درصدهای مختلف صمغ مشاهده نشد ( $0.05 > p$ ). به خروج از شبکه‌ی ژلی نسبتاً خروج رطوبت طی فرایند سرخ کردن نهایی و کاهش چروکیدگی نسبت به تیمار شاهد شدند. به طور کلی، به دلیل شبکه‌ی ژلی نسبتاً مستحکمی که طی فرایند خرد کردن پروتئین‌ها در نمک و فرایند قوام‌یابی تشکیل شده بود، مولکول‌های آب تبخیر شده طی فرایند سرخ کردن قادر به خروج از شبکه‌ی ژلی نبوده و مانع از ایجاد چروکیدگی در تیمارهای تولیدی شدند.

بازده محصول یکی از شاخص‌های مهم محصولات لاعاب‌دهی و سوخاری شده است که با مقدار وزن نهایی محصول ارتباط مستقیمی دارد و برای مصرف کنندگان و تولیدکنندگان از نظر اقتصادی حائز اهمیت است (Das et al., 2008). نتایج بازده محصول نشان داد که تیمارهای

ناگت میگو تولیدی در مقایسه با تیمار شاهد اختلاف معنی‌داری نشان ندادند ( $p > 0.05$ ). بر اساس نتایج حاصل، به نظر می‌رسد عملکرد هیدروکلوریک‌های استفاده شده و درصدهای مختلف آن‌ها، در مقدار بازده محصول یکسان بوده است. از آنجا که اختلاف معنی‌داری در مقادیر رطوبت تیمار شاهد و تیمارهای حاوی صمغ مشاهده نشده بود (به استثناء تیمار حاوی ۱/۵ درصد زاتنان)، نتایج حاصل از بازده را علاوه بر اثر مقادیر رطوبت، می‌توان به اثر پوسته سوخاری نیز نسبت داد. پوسته سوخاری به عنوان یک عایق مناسب در مقابل از دست رفتن رطوبت و کاهش وزن محصول عمل می‌کند که می‌تواند به دلیل ژلاتینه شدن نشاسته‌ی موجود در آرد سوخاری باشد (Kwaw *et al.*, 2017). در نتیجه، مقادیر بازده محصول، اختلاف معنی‌داری میان تیمار شاهد و سایر تیمارها نشان نداد.

رطوبت تحت فشار نسبت معکوسی با ظرفیت نگهداری آب دارد. همانطور که در جدول ۱ مشاهده می‌شود، مقدار رطوبت تحت فشار اختلاف معنی‌داری میان تیمار شاهد در مقایسه با سایر تیمارها نشان نداد ( $p > 0.05$ ). تنها تیمار ناگت میگو حاوی ۲ درصد آژینات رطوبت تحت فشار کمتر، یا به بیان دیگر ظرفیت نگهداری آب بالاتری را نسبت به شاهد نشان داد ( $p < 0.05$ ). در مطالعه حاضر به استثناء تیمار حاوی ۲ درصد آژینات، در سایر تیمارها ارتباط مستقیم میان بازده محصول و ظرفیت نگهداری آب مشاهده شد، همانطور که داس و همکاران (Das *et al.*, 2008) بیان نمودند میزان بازده محصول ارتباط مستقیمی با ظرفیت نگهداری آب دارد. به نظر می‌رسد بازده محصول در تیمارهای حاصل چندان متاثر از هیدروکلوریک‌های افزوده شده به بافت سوریمی نبوده است و همانطور که در بحث مقادیر بازده بیان شد، پوسته سوخاری نیز در ممانعت از خروج رطوبت موثر بوده که در نهایت بر ظرفیت نگهداری آب اثر گذاشته و سبب ایجاد عدم تغییر معنی‌دار در مقادیر آن شده است. داس و همکاران (Das *et al.*, 2008) با مطالعه اثر خمیر سویا و گرانول سویا بر کیفیت ناگت گوشت بیان نمودند که میزان بازده در تیمارهای آزمایشی، مشابه یا بالاتر از تیمار شاهد بود که دلیل آن را ظرفیت نگهداری آب بالای گوشت طی فرآیند پخت اعلام کردند که با نتایج مطالعه حاضر مشابهی داشت.

**جدول ۱- مقادیر رطوبت تحت فشار، pH، چروکیدگی و بازده محصول در تیمار شاهد (میگو سوخاری) و تیمارهای ناگت میگوی حاصل از سوریمی در ترکیب با درصدهای مختلف کاراژینان، آژینات و زاتنان**

**Table 1- Values of express water, pH, shrinkage and product yield of control (battered and breaded shrimp) and shrimp nugget obtained from surimi in combination with different percentages of carrageenan, alginate and xanthan**

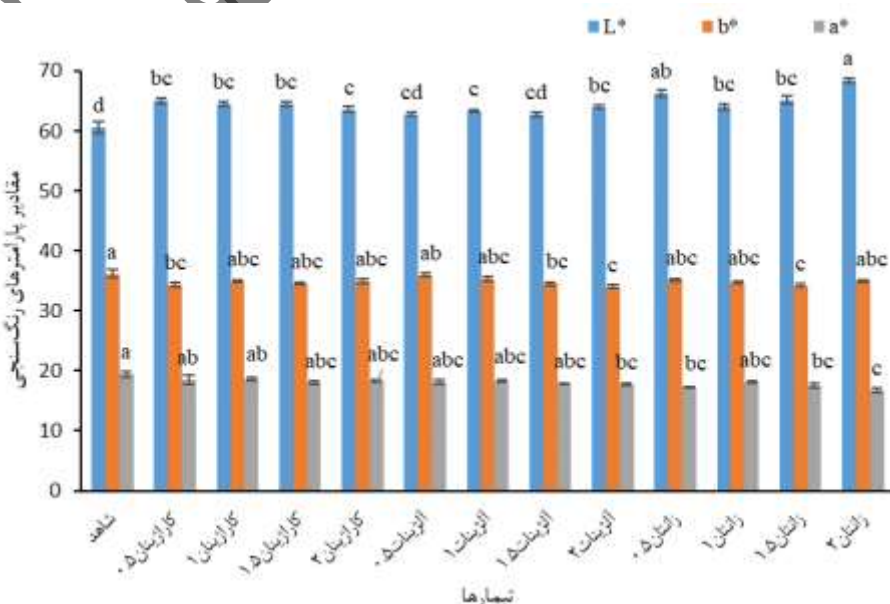
تیمار Treatment	درصدهای هیدروکلوریک Hydrocolloids percentage	رطوبت تحت فشار (%) Express water (%)	pH	چروکیدگی (%) Shrinkage (%)	بازده محصول (%) Product yield (%)
شاهد Control	-	7.0±12.22 <sup>a</sup>	6.0±95.01 <sup>a</sup>	8.4±49.70 <sup>a</sup>	91.1±81.09 <sup>abc</sup>
Carrageenan	0.5	6.0±19.01 <sup>ab</sup>	6.0±77.01 <sup>e</sup>	-1.0±39.85 <sup>b</sup>	90.0±55.37 <sup>bc</sup>
	1	6.0±85.01 <sup>ab</sup>	6.0±85.01 <sup>b</sup>	-1.1±86.03 <sup>b</sup>	91.0±34.18 <sup>abc</sup>
	1.5	8.1±14.51 <sup>a</sup>	6.0±80.01 <sup>cd</sup>	0.0±01.56 <sup>b</sup>	90.01±49.11 <sup>c</sup>
	2	6.0±02.16 <sup>ab</sup>	6.079.01 <sup>cd</sup>	1.1±09.1 <sup>ab</sup>	93.10±32.46 <sup>ab</sup>
Alginate	0.5	6.0±82.06 <sup>ab</sup>	6.0±78.01 <sup>de</sup>	0.0±78.43 <sup>b</sup>	93. ±83.50 <sup>a</sup>
	1	6.0±62.21 <sup>ab</sup>	6.0±74.01 <sup>f</sup>	-1.0±11.37 <sup>b</sup>	93.0±14.32 <sup>ab</sup>
	1.5	6.0±11.09 <sup>ab</sup>	6.0±60.01 <sup>i</sup>	0.0±01.66 <sup>b</sup>	91.0±87.41 <sup>abc</sup>
	2	4.0±44.19 <sup>ab</sup>	6.0±61.01 <sup>i</sup>	-1.0±27.97 <sup>b</sup>	91.0±82.45 <sup>abc</sup>
Xanthan	0.5	6.0±01.29 <sup>ab</sup>	6.0±67.01 <sup>h</sup>	-2.1±54.30 <sup>b</sup>	93.1±14.35 <sup>ab</sup>
	1	6.0±13.12 <sup>ab</sup>	6.0±71.0 <sup>g</sup>	-0.1±55.01 <sup>b</sup>	92.0±10.13 <sup>abc</sup>
	1.5	6.0±16.32 <sup>ab</sup>	6.0±80.01 <sup>b</sup>	0.0±88.6 <sup>b</sup>	92.0±17.34 <sup>abc</sup>

	2	7.0±13.51 <sup>a</sup>	6.0±79.0 <sup>cd</sup>	-1.0±30.65 <sup>b</sup>	92.0±19.35 <sup>abc</sup>
داده‌ها به صورت میانگین سه تکرار ± انحراف معيار بيان شده‌اند. حروف مختلف (a-c) در هر ردیف و ستون، نشان دهنده اختلاف معنی‌دار بین تیمارها می‌باشد (p<0.05)					

The data are expressed as the average of three replicates ± standard deviation. Different letters (a-c) in each row and column indicate significant differences between treatments (p<0.05).

### ۳-۳- رنگ‌سنجدی

یکی از مهم‌ترین پارامترهایی که بر میزان بازارپسندی محصولات لعاب‌دهی و سوخاری شده موثر است، رنگ نهایی این محصولات می‌باشد. طی فرایند سرخ کردن محصولات لعاب‌دهی و سوخاری شده واکنش‌های شیمیایی مختلفی از قبیل دناتوره شدن پروتئین‌ها، ژلاتینه شدن نشاسته و واکنش قهقهه‌ای شدن لعاب و پوشش آرد سوخاری رخ می‌دهد که کلیه این واکنش‌ها، باعث ایجاد تغییرات پیچیده در رنگ می‌گرددن (Das *et al.*, 2011). بر اساس نتایج ارائه شده در شکل ۲، کلیه شاخص‌های رنگ‌سنجدی روشنایی، قرمزی و زردی در تیمارهای مختلف نسبت به تیمار شاهد اختلاف معنی‌داری را نشان دادند ( $p < 0.05$ ). بالاترین مقدار شاخص روشنایی در تیمار حاوی ۲ درصد زلتان و کمترین مقدار آن در تیمار شاهد مشاهده شد. سایر تیمارها نیز مقدار روشنایی بالاتری را در مقایسه با تیمار شاهد نشان دادند. به نظر می‌رسد روشنایی پوسته متأثر از رنگ روشن ناگت‌های میگو (سوریمی) نیز بود که در مقایسه با رنگ صورتی تیمار شاهد (میگو)، پوسته ناگت‌های میگو روی زمینه‌ای با رنگ روشن تر قرار گرفتند، که با توجه به دانه‌بندی پوشش سوخاری، رنگ زمینه‌ی تیمارها تا حدودی توسط دستگاه رنگ‌سنجد تشخیص داده شده و منجر به افزایش روشنایی رنگ کل ناگت‌ها نسبت به تیمار شاهد شد. هر دو تیمارهای شاهد و تیمارهای حاوی کارازینان مقادیر شاخص‌های قرمزی و زردی بالاتری را در مقایسه با تیمارهای حاوی آلتینات و زلتان نشان دادند. از آنجا که اندازه‌گیری شاخص‌های رنگ‌سنجدی از سطح رویی و سوخاری شده تیمارهای تولیدی انجام گرفت، تغییرات شاخص‌های رنگی حاصل، ناشی از اثر فرایند سرخ کردن نیز می‌باشند. مطالعات گذشته نیز کاهش شاخص روشنایی و افزایش شاخص قرمزی و زردی را در محصولات سوخاری شده پس از سرخ کردن مقدماتی گزارش کردند (Moradi *et al.*, 2009).



شکل ۲- مقادیر شاخص‌های رنگ‌سنجدی در تیمار شاهد (میگو سوخاری) و تیمارهای ناگت میگوی حاصل از سوریمی در ترکیب با درصدهای مختلف کاراژینان، آژینات و زانتان

**Fig 2- Values of color analysis of control (battered and breaded shrimp) and shrimp nugget obtained from surimi in combination with different percentages of carrageenan, alginate and xanthan**

داده‌ها به صورت میانگین سه تکرار  $\pm$  انحراف معیار بیان شده‌اند. حروف مختلف (a-c) در نمودار، نشان دهنده اختلاف معنی‌دار بین تیمارها می‌باشد ( $p<0.05$ ).

The data are expressed as the average of three replicates  $\pm$  standard deviation. Different letters (a-c) indicate significant differences between treatments ( $p<0.05$ ).

#### ۴-۳- بافت‌سنجدی

چسبندگی<sup>۴</sup> بافت به معنی تغییر شکل رخ داده طی گاز زدن محصول می‌باشد (Noordin *et al.*, 2014). در تیمارهای ناگت میگو تولیدی، تیمارهای حاوی ۰ درصد آژینات بالاترین و تیمار شاهد، تیمارهای حاوی ۵/۰ درصد آژینات، ۱ و ۲ درصد کاراژینان در یک رده قرار داشته و کمترین مقدار چسبندگی را نشان دادند ( $p<0.05$ ). به نظر می‌رسد این نتیجه ناشی از وجود مقادیر بالاتر رطوبت در تیمارهای حاوی صمغ زانتان و کاراژینان بود حق شناس و همکاران (Haghshenas *et al.*, 2015) با بررسی تاثیر افزودن بتاگلوکان و کربوکسی متیل سلولز بر ویژگی‌های حسی و فیزیکی ناگت میگوی فراسودمند دریافتند نمونه‌های حاوی این دو نوع هیدروکلوفید کمترین میزان چسبندگی را نشان دادند که مطابق نتایج مطالعه حاضر بود، به طوری که موثر بودن هیدروکلوفیدها بر کاهش میزان چسبندگی بافت فراورده را ثابت می‌کند.

در فاکتورهای ارزیابی بافت، فاکتور تغییر شکل<sup>۵</sup> برای ارزیابی قابلیت شکست استفاده می‌شود. مقدار یا توانایی تغییر شکل، ارتباط مستقیم با تردی پوسته دارد (Bechtel *et al.*, 2018). در مطالعه حاضر، تغییرات معنی‌داری در فاکتور تغییر شکل میان تیمار شاهد و سایر تیمارها مشاهده نشد ( $p>0.05$ )، به طوری که تغییرات تابع روند خاصی نبود. در مطالعه فیله ماهی سوخاری شده، مرادی و همکاران (Moradi *et al.*, 2009) گزارش کردند که شاخص تغییر شکل پس از سرخ کردن مقدماتی دچار افزایش شد که با نتایج تحقیق حاضر مطابقت ندارد.

خاصیت فریت<sup>۶</sup> یکی از ویژگی‌های مهم و شناخته شده محصولات قوام‌یابی شده است و به معنای توانایی محصول در بازگشتن به حالت اولیه هنگام فشردن است (Noordin *et al.*, 2014). در مطالعه حاضر تیمارهای حاوی ۵/۰ درصد کاراژینان مقدار فریت بالاتری نسبت به تیمارهای شاهد، ۱/۵ درصد کاراژینان، ۱/۵ و ۲ درصد آژینات نشان دادند ( $p<0.05$ )، در حالیکه سایر تیمارها اختلاف معنی‌داری را با شاهد نشان ندادند ( $p>0.05$ ). تغییرات ساختاری که در سطح ناگت میگو طی فرایند سرخ کردن مقدماتی در روغن عمیق رخ می‌دهد، باعث تشکیل حباب‌های کوچک و افزایش پف کردنی و در نتیجه افزایش میزان شاخص فریت در بافت سوریمی می‌شود. علاوه بر آن، ژلاتینه شدن نشاسته‌ی موجود در پوسته سوخاری سدی را مقابله خروج حباب‌های تشکیل شده در بافت سوریمی تشکیل می‌دهد که منجر به افزایش حجم فراورده و در نتیجه افزایش شاخص فریت می‌گردد (Chen *et al.*, 2021). به نظر می‌رسد که صمغ کاراژینان نسبت به صمغ‌های

<sup>4</sup> - Adhesion

<sup>5</sup> - Deformation

<sup>6</sup> - springiness

آلزینات و زانتان، برهمکنش‌های بالاتری با پروتئین‌های میوفیبریل تشکیل داد، به نحوی که مانع خروج بیشتر حباب‌های تشکیل شده گردید و در نتیجه شاخص فنریت در این تیمار بالاتر از سایر تیمارها شد. پارک و همکاران (Park *et al.*, 2008) گزارش کردند که هرچه میزان چسبندگی ژل تولیدی بیشتر باشد، میزان فنریت نیز افزایش می‌یابد. در این راستا، آنتونووا و همکاران (Antonova *et al.*, 2003) در تحقیقی که روی ناگت مرغ سرخ شده انجام دادند، نشان دادند که ارتباط مستقیمی میان قدرت تشکیل ژل و شاخص‌های رئولوژی بافت محصول مانند سختی، نیروی برشی و خاصیت ارتجاعی وجود دارد.

طبق نتایج جدول ۲، مقدار فاکتور سختی<sup>۷</sup> در تیمار شاهد بالاتر از تیمارهای حاوی درصدهای مختلف آلزینات و زانتان بود ( $p < 0.05$ ). تیمارهای حاوی درصدهای مختلف کارازینان در مقایسه با شاهد، اختلاف معنی‌داری را در فاکتور سختی نشان ندادند ( $p > 0.05$ ). تحقیقات گذشته ثابت کردند که با افزایش میزان رطوبت ماده غذایی، میزان سختی آن کاهش می‌یابد و کمترین میزان شاخص سختی در محصولی دیده می‌شود که بالاترین مقدار رطوبت را دارا باشد (Varela & Fiszman, 2011). بطور کلی رابطه معکوسی میان میزان رطوبت ماده غذایی و میزان شاخص سختی دیده شده بود. در تحقیق حاضر، رابطه‌ی معکوس میان سختی و رطوبت در تیمارهای حاوی آلزینات و زانتان مشاهده شد. در نتیجه‌ی دمای ناشی از فرایند انعقاد و سرخ کردن اولیه، ابتدا، پروتئین‌های میوفیبریل منبسط شده و پیوندهای دی‌سولفید پلیمریزه شده‌ی بیشتری تشکیل می‌دهند، که پلیمریزه شدن این پیوندها در نهایت منجر به متراکم شدن و منقبض شدن پروتئین‌های میوفیبریل و افزایش سختی بافت می‌شوند (Chen *et al.*, 2021). در دمای ناشی از فرایند آماده‌سازی، پروتئین‌های محلول در نمک حل شده و تحت شرایط کم فشار با مولکول‌های آب ترکیب می‌شوند. به عبارت دیگر، سوریمی با سرعت بالاتری به مرحله‌ی دهیدراته شدن رسیده و پوسته سختی را در سطح خود تشکیل می‌دهد (Chen *et al.*, 2021).

جدول ۲- مقادیر شاخص‌های بافت‌سنگی در تیمار شاهد (میگو سوخاری) و تیمارهای ناگت میگوی حاصل از سوریمی در ترکیب با درصدهای مختلف کارازینان، آلزینات و زانتان

Table 2- Values of texture analysis indices in control (battered and breaded shrimp) and shrimp nugget obtained from surimi in combination with different percentages of carrageenan, alginate and xanthan

تیمار Treatment	درصدهای هیدروکلوفید Hydrocolloids percentage	چسبندگی Adhesion (%)	تفییر شکل Deformation (%)	فنریت Springiness (mm)	سختی (N) Hardness (N)
شاهد Control	-	55.5±7.42 <sup>b</sup>	14.0±9.01 <sup>a</sup>	128.8±50.08 <sup>b</sup>	3200.681±16.47 <sup>a</sup>
کارازینان Carrageenan	0.5	48.7±2.29 <sup>b</sup>	14.0±9.01 <sup>a</sup>	223.31±66.06 <sup>ab</sup>	2506.198±83.96 <sup>ab</sup>
	1	49.3±2.43 <sup>b</sup>	14.0±9.01 <sup>a</sup>	238.57±71.84 <sup>ab</sup>	1966.242±16.11 <sup>bcde</sup>
	1.5	68.8±4.90 <sup>ab</sup>	15.12±8.10 <sup>a</sup>	121.29±25.01 <sup>b</sup>	2308.60±66.78 <sup>abc</sup>
	2	72.7±5.83 <sup>ab</sup>	14.0±9.01 <sup>a</sup>	289.47±76.12 <sup>a</sup>	1879.147±66.83 <sup>bcde</sup>
آلزینات Alginate	0.5	48.4±8.29 <sup>b</sup>	14.0±8.01 <sup>a</sup>	202.19±47.96 <sup>ab</sup>	1591.8±33.98 <sup>bcdef</sup>
	1	67.5±5.55 <sup>ab</sup>	14.0±9.01 <sup>a</sup>	172.25±37.06 <sup>ab</sup>	750±90.85 <sup>def</sup>
	1.5	72.5±8.57 <sup>ab</sup>	14.0±7.01 <sup>a</sup>	121.24±23.12 <sup>b</sup>	479.46±50.6 <sup>f</sup>
	2	112.30±3.84 <sup>a</sup>	14.0±7.01 <sup>a</sup>	105.14±25.32 <sup>b</sup>	537.55±50.71 <sup>f</sup>
زانتان Xanthan	0.5	64.10±19.97 <sup>ab</sup>	14.0±9.01 <sup>a</sup>	159.24±16.17 <sup>ab</sup>	1525.105±50.09 <sup>bcdef</sup>
	1	59.10±38.51 <sup>ab</sup>	14.0±8.01 <sup>a</sup>	207.28±38.43 <sup>ab</sup>	1248.181±33.24 <sup>cdef</sup>
	1.5	78.3±17.65 <sup>ab</sup>	14.0±7.01 <sup>a</sup>	203.8±75.98 <sup>ab</sup>	743.42±66.35 <sup>ef</sup>

<sup>7</sup> - Hardness

	2	$44.10 \pm 13.13^b$	$14.0 \pm 9.01^a$	$121.11 \pm 16.95^b$	$1157.138 \pm 83.40^{cdef}$
داده‌ها به صورت میانگین سه تکرار $\pm$ انحراف میار بیان شده‌اند. حروف مختلف (a-f) در هر دیف و ستون، نشان دهنده اختلاف معنی‌دار بین تیمارها می‌باشد ( $p < 0.05$ )					

The data are expressed as the average of three replicates  $\pm$  standard deviation. Different letters (a-f) in each row and column indicate significant differences between treatments ( $p < 0.05$ ).

### ۳-۵- آنالیز حسی

نتایج ارزیابی حسی ناگت‌های تولیدی در مقایسه با تیمار شاهد، در جدول ۳ و شکل ۳ نشان داده شده است. اولین معیار ارزیابی کیفیت حسی محصولات سوخاری شده، پیشگاهی‌های پوسته سوخاری آن است که اثر مهمی بر میزان پذیرش محصول دارد. با اعمال فرایند سوخاری کردن، پوسته‌ای با بافت ترد و نارنجی رنگ روی محصول شکل می‌گیرد که به عنوان سدی مقابل کاهش رطوبت فراورده عمل می‌کند (Kwaw *et al.*, 2017). از نظر شکل ظاهری اختلاف معنی‌داری میان تیمار شاهد و تیمارهای ناگت میگو تولیدی مشاهده نشد ( $p > 0.05$ ), زیرا کلیه‌ی تیمارها در معرض فرایند آردزنی اولیه، لعاب‌دهی و پوشش‌دهی با آرد سوخاری قرار گرفته بودند.

از آنجا که هدف بهینه‌سازی بافت ناگت میگو با کاربرد هیدروکلوفیدها بود، در بررسی آنالیز حسی، تیماری که نزدیک‌ترین نتیجه به تیمار شاهد (میگو سوخاری) را دارا بود به عنوان تیمار بهینه در نظر گرفته شد. تیمار حاوی ۱ درصد کاراژینان بالاترین امتیاز شاخص‌های طعم، بو، بافت و پذیرش کلی را نسبت به سایر تیمارهای حاوی صمغ‌های دیگر دارا بود ( $p < 0.05$ ) در حالی که، اختلاف معنی‌داری با تیمار شاهد نشان نداد. میزان پذیرش کلی برای ناگت‌های میگوی تولیدی در محدوده امتیازهای ۷/۲۶-۸/۸۰ بود که توسط ارزیابان بصورت "خیلی خوب" ارزیابی شده بود که پذیرش بالای ناگت‌های میگوی تولیدی را توسط ارزیابان نشان داد. اما به نظر می‌رسد، افزایش درصد هیدروکلوفیدها اثر کاهشی معنی‌داری بر مقدار پذیرش ناگت‌های میگو نشان داد به طوری که تیمارهای حاوی ۲ درصد کاراژینان کمترین مقدار پذیرش کلی را دریافت نمودند. همچنین، تیمار ۲ درصد زانتان کمترین امتیاز طعم و بافت را به خود اختصاص داد که دلیل آن می‌تواند به دلیل جذب بالای آب توسط صمغ زانتان باشد که منجر به تشکیل حالت ژله‌ای بیشتر و در نتیجه ایجاد بافتی نرم‌تر در هنگام جویدن در مقایسه با تیمار شاهد شد. برخلاف نتایج حاصل از این تحقیق، Demirci *et al.*, 2014) کاهش معنی‌دار شاخص‌های حسی رنگ، طعم، سختی و پذیرش کلی را در نمونه‌های حاوی هیدروکلوفیدهای زانتان، گوار و کاراژینان گزارش کردند.

جدول ۳- مقدار شاخص‌های آنالیز حسی در تیمار شاهد (میگو سوخاری) و تیمارهای ناگت میگوی حاصل از سوریمی در ترکیب با درصدهای مختلف کاراژینان، آلتینات و زانتان

Table 3- Values of sensory analysis in control (battered and breaded shrimp) and shrimp nuggets obtained from surimi in combination with different percentages of carrageenan, alginate and xanthan

تیمار Treatment	درصدهای هیدروکلوفید Hydrocolloids percentage	شكل ظاهری Appearance	طعم Taste	بو Smell	بافت Texture	پذیرش کلی Overall acceptance
Control شاهد	-	$8.0 \pm 33.15^a$	$8.0 \pm 9^{ab}$	$8.0 \pm 46.16^{ab}$	$8.0 \pm 13.8^{ab}$	$8.0 \pm 40.13^{ab}$
کاراژینان Carrageenan	0.5	$7.0 \pm 93.11^a$	$7.0 \pm 40.13^{bc}$	$7.0 \pm 60.19^c$	$7.0 \pm 73.11^{bc}$	$7.0 \pm 73.15^{bcd}$
	1	$8.0 \pm 40.16^a$	$8.0 \pm 53.13^a$	$8.0 \pm 73.11^a$	$8.0 \pm 73.11^a$	$8.0 \pm 80.10^a$
	1.5	$7.0 \pm 86.13^a$	$7.0 \pm 80.10^{bc}$	$8.0 \pm 45.10^{abc}$	$7.0 \pm 66.12^{bc}$	$7.0 \pm 73.15^{bcd}$
	2	$7.0 \pm 93.11^a$	$7.0 \pm 60.16^{bc}$	$7.0 \pm 86.13^{bc}$	$7.0 \pm 60.13^{bc}$	$7.0 \pm 26.15^d$

	0.5	8.0±80.09 <sup>a</sup>	7.0±66.18 <sup>bc</sup>	8.0±13.21 <sup>abc</sup>	7.0±86.16 <sup>bc</sup>	8.0±13.16 <sup>abc</sup>
آلزینات	1	8.0±75.10 <sup>a</sup>	7.0±33.15 <sup>bc</sup>	7.0±86.13 <sup>bc</sup>	7.0±53.21 <sup>bc</sup>	7.0±26.15 <sup>d</sup>
Alginate	1.5	8.0±70.12 <sup>a</sup>	7.0±66.12 <sup>bc</sup>	7.0±86.13 <sup>bc</sup>	7.0±53.21 <sup>bc</sup>	7.0±40.19 <sup>cd</sup>
	2	7.0±86.13 <sup>a</sup>	7.0±53.13 <sup>bc</sup>	7.0±73.15 <sup>bc</sup>	7.0±66.12 <sup>bc</sup>	7.0±33.23 <sup>cd</sup>
	0.5	8.0±33.12 <sup>a</sup>	7.0±80.17 <sup>bc</sup>	8.0±46.16 <sup>ab</sup>	7.0±60.13 <sup>bc</sup>	7.0±66.18 <sup>bcd</sup>
زانثان	1	8.0±13.12 <sup>a</sup>	7.0±66.15 <sup>bc</sup>	7.0±86.19 <sup>bc</sup>	8.0±51.12 <sup>bc</sup>	7.0±66.27 <sup>bcd</sup>
Xanthan	1.5	7.0±93.15 <sup>a</sup>	7.0±86.13 <sup>abc</sup>	7.0±86.16 <sup>bc</sup>	7.0±86.09 <sup>bc</sup>	7.0±40.19 <sup>cd</sup>
	2	7.0±93.15 <sup>a</sup>	7.0±26.15 <sup>c</sup>	7.0±73.18 <sup>bc</sup>	7.0±33.12 <sup>c</sup>	7.0±80.02 <sup>bcd</sup>

داده‌ها به صورت میانگین سه تکرار  $\pm$  انحراف معیار بیان شده‌اند. حروف مختلف (a-d) در هر ردیف و ستون، نشان دهنده اختلاف معنی‌دار بین تیمارها می‌باشد  
( $p<0.05$ )

The data are expressed as the average of three replicates  $\pm$  standard deviation. Different letters (a-d) in each row and column indicate significant differences between treatments ( $p<0.05$ ).

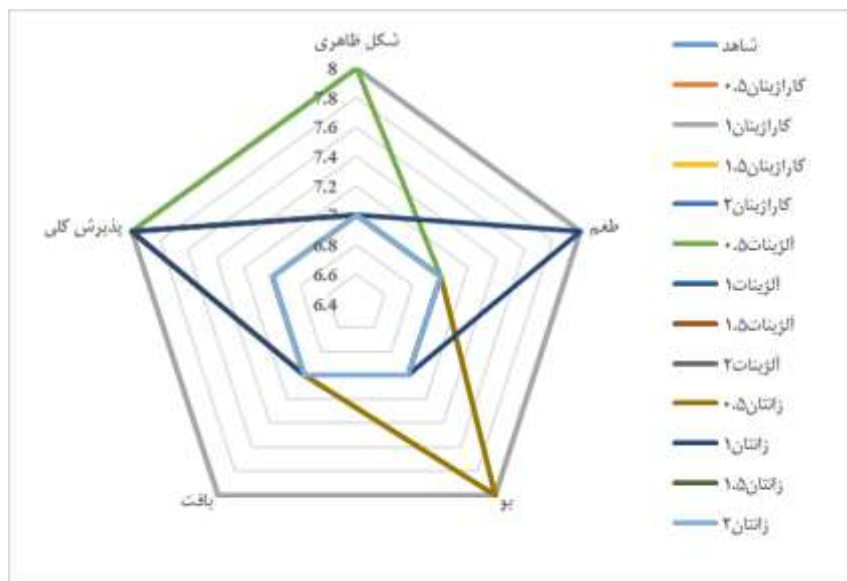


Fig 3- Values of sensory analysis in control (battered and breaded shrimp) and shrimp nuggets obtained from surimi in combination with different percentages of carrageenan, alginate and xanthan

#### ۴- نتیجه‌گیری

کاربرد هیدروکلوفیدهای آلزینات و زانثان در بافت سوریمی سبب کاهش معنی‌دار میزان چربی در فرآورده نهایی شدند. کلیه‌ی تیمارهای ناگت میگویی تولیدی، مقدار چروکیدگی کمتری را در مقایسه با میگو سوخاری نشان دادند. حضور کاراژینان و آلزینات در ارتباط با پروتئین‌های میوفیبریل سوریمی به ترتیب باعث افزایش فریبت و چسیندگی بافت ناگت‌های میگو شدند. شاخص‌های رنگ‌سنگی ( $L^*$ ,  $a^*$  و  $b^*$ ) در این مطالعه بیشتر تحت تاثیر فرایند سرخ کردن قرار داشت. تیمار حاوی ۱ درصد کاراژینان بالاترین امتیاز شاخص‌های حسی را دریافت کرد و میزان پذیرش آن در محدوده‌ی میزان پذیرش تیمار شاهد قرار گرفت. با توجه به نتایج حاصل، صمغ کاراژینان اثر بهتری را نسبت به صمغ‌های آلزینات و زانثان بر بھبود بافت ناگت میگو نشان داد و به طور کلی، کاربرد مقدار ۱ درصد کاراژینان در این زمینه پیشنهاد می‌گردد.

- Antonova, I., Mallikarjunan, P., & Duncan, S. E. (2003). Correlating objective measurements of crispness in breaded fried chicken nuggets with sensory crispness. *Journal of Food Science*, 68(4), 1308–1315. <https://doi.org/10.1111/j.1365-2621.2003.tb09644.x>
- AOAC. (2002). Official Methods of Analysis. Cunnif, (Ed.), Gaithersburg, MD, pp. 3.
- Bechtel, P. J., Bland, J. M., Woods, K., Lea, J. M., Brashear, S. S., Boue, S. M., ... & Bett-Garber, K. L. (2018). Effect of par frying on composition and texture of breaded and battered catfish. *Foods*, 7(4), 46. <https://doi.org/10.3390/foods7040046>
- Chen, Ch., Li, P., Hu, W., Lan, M., Chen, M., and Chen, H. (2008). Using HPMC to improve crust crispness in microwave-reheated battered mackerel nuggets: water barrier effect of HPMC. *Journal of Food Hydrocolloids*, 22: 1334-1344. <https://doi.org/10.1016/j.foodhyd.2007.07.003>
- Chen, J., Lei, Y., Zuo, J., Guo, Z., Miao, S., Zheng, B., & Lu, X. (2021). The effect of vacuum deep-frying technology and raphanus sativus on the quality of surimi cubes. *Foods*, 10(11), 2544. <https://doi.org/10.3390/foods10112544>
- Das, A.K., Anjaneyulu, A.S.R., Gadekar, Y.P., Singh, R.P., and Pragati, H. (2008). Effect of full-fat soy paste and textured soy granules on quality and shelf-life of goat meat nuggets in frozen storage. *Journal of Meat Science*. 80: 607-614. <https://doi.org/10.1016/j.meatsci.2008.02.011>
- Das R, Pawar D.P, and Modi V.K. (2011). Quality characteristics of battered and fried chiken: comparison of pressure frying and conventional frying. *Journal of Food Science Technology*, DOI 10.1007/s13197-011-0350-z. <https://doi.org/10.1007/s13197-011-0350-z>
- Demirci, Z. O., Yilmaz, I., & Demirci, A. S. (2014). Effects of xanthan, guar, carrageenan and locust bean gum addition on physical, chemical and sensory properties of meatballs. *Journal of food science and technology*, 51(5), 936-942. <https://doi.org/10.1007/s13197-011-0588-5>
- Emo, S.H., Kim, J.A., Son, B.Y., You, D.H., Han, J.M., Oh, J.H., Kim, B.Y., and Kong, C.S. (2013). Effects of carrageenan on the gelatinization of salt-based surimi gels. *Journal of Fisheries and Aquatic Sciences*, 16: 143- 147. DOI : [10.5657/FAS.2013.0143](#)
- Galus, S., & Lenart, A. (2013). Development and characterization of composite edible films based on sodium alginate and pectin. *Journal of Food Engineering*, 115(4), 459–465. <https://doi.org/10.1016/j.jfoodeng.2012.03.006>
- Gibis, M., Schuh, V., and Weiss, J. (2015). Effects of carboxymethyl cellulose (CMC) and microcrystalline cellulose (MCC) as fat replacers on the microstructure and sensory characteristics of fried beef patties. *Journal of Food Hydrocolloids*. 45: 236-246. <https://doi.org/10.1016/j.foodhyd.2014.11.021>
- Gulzar, S., & Benjakul, S. (2020). Impact of pretreatment and atmosphere on quality of lipids extracted from cephalothorax of Pacific white shrimp by ultrasonic assisted process. *Food Chemistry*, 309, Article e125732. <https://doi.org/10.1016/j.foodchem.2019.125732>

- Haghshenas M, Hosseini H, Nayebzadeh K, Shabkoohi Kakesh B, Mohmoudzadeh M, and Komeyli Fonood R. (2015). Effect of beta glucan and carboxymethyl cellulose on lipid oxidation and fatty acid composition of pre-cooked shrimp nugget during storage. *Journal of LWT-Food Science and Technology*, In Press. <https://doi.org/10.1016/j.lwt.2015.01.042>
- Hannan, M.A., Habib, K.A., Shahabuddin, A.M., Haque, M.A., Munir, M.B. (2022). Frozen Shrimp and Other Seafood-Based Value-Added Products. In: Post-Harvest Processing, Packaging and Inspection of Frozen Shrimp: A Practical Guide. Springer, Singapore. [https://doi.org/10.1007/978-981-19-1566-6\\_13](https://doi.org/10.1007/978-981-19-1566-6_13)
- Hauzoukim, Martin Xavier, K. A., Kannuchamy, N., Balange, A., & Gudipati, V. (2019). Development of enrobed fish products: Improvement of functionality of coated materials by added aquatic polymers. *Journal of Food Process Engineering*, 42(3), e12999. <https://doi.org/10.1111/jfpe.12999>
- Hasanpour, F., Hoseini, E., Motalebi, A.A., and Darvish, F. (2012). Effects of soy protein concentration and xanthan gum on physical properties of silver carp (*Hypophthalmichthys molitrix*) surimi. *Iranian Journal of Fisheries Sciences*, 11: 518- 530.
- Heydari, S., Shabanpour, B., & Pourashouri, P. 2016. Effect of wheat and oat dietary fibers on quality and prevention of shrimp analogue products deformation during deep frying. *Iranian Food Science and Technology Research Journal*, Vol 14, No.1, Apr. May. 2018, p. 207-217.
- Huda, N., Seow, E. K., Normawati, M. N., Aisyah, N. N., Fazilah, A., & Easa, A. M. (2013). Effect of duck feet collagen addition on physicochemical properties of surimi. *International Food Research Journal*, 20(2).
- Jamshidi, A., & Shabanpour, B. (2014). The effect of hydroxypropyl methylcellulose (HPMC) added pre-dust and batter of Talang queenfish (*Scomberoides commersonianus*) nuggets on the quality and reduction of oil uptake. *MINERVA BIOTECNOLOGICA*, 26(1), 57-64.
- Kwaw, E., Sackey, A. S., Apaliya, M. T., & Tchabo, W. (2017). Utilization of composite flours as breading agents for deep frying of chicken breast. *Journal of Food Measurement and Characterization*, 11, 1523-1530. <https://doi.org/10.1007/s11694-017-9531-4>
- Li, D., Prinyawiwatkul, W., Tan, Y., Luo, Y., & Hong, H. (2021). Asian carp: A threat to American lakes, a feast on Chinese tables. *Comprehensive Reviews in Food Science and Food Safety*, 20(3), 2968-2990. <https://doi.org/10.1111/1541-4337.12747>
- Moradi, Y.; Bakar, J.; Muhamad, S.S.; Man, Y.C. (2009). Effects of different final cooking methods on physico-chemical properties of breaded fish fillets. *Am. J. Food Technol.* 4, 136–145.
- Nguyen, B.E. (2009). Effects of methylcellulose on the quality and shelf-life of deep-fat fried and oven baked chicken nuggets. A Thesis in Food Science.
- Nino, T., Sasidharan, A., Sabu, S., Sunoj, K. V., Pradhan, C., & Xavier, K. M. (2022). Effect of vacuum tumbling assisted marination on textural and sensory properties of deep-fried Indian white shrimp. *Indian J. Fish*, 69(3), 100-107. DOI: 10.21077/ijf.2022.69.3.112765-12

Noordin, W.N., Shunmugam, N., and Huda. N. (2014). Application of salt solution and vacuum Ppackaging in extending the shelf life of cooked fish balls for home and retail uses. Journal of Food Quality. 13(6): 444-452. <https://doi.org/10.1111/jfq.12105>

Núñez-Flores, R.; Cando, D.; Borderías, A.J.; Moreno, H.M. (2018). Importance of salt and temperature in myosin polymerization during surimi gelation. Food Chemistry, 239, 1226–1234. <https://doi.org/10.1016/j.foodchem.2017.07.028>

Park, Y.D., Yoon, K.S., and Lee C.M. (2008). Thermal syneresis affected by heating schedule and moisture level in surimi gels. Journal of Food Engineering and Physical Properties. 73: 103-107. <https://doi.org/10.1111/j.1750-3841.2007.00644.x>

Pourashouri, P., Shabaniour, B., Kordjazi, M., & Jamshidi, A. (2020). Characteristic and shelf life of fish sausage: fortification with fish oil through emulsion and gelled emulsion incorporated with green tea extract. Journal of the Science of Food and Agriculture, 100(12), 4474-4482. <https://doi.org/10.1002/jsfa.10488>

Pourashouri, P., Shabaniour, B., Heydari, S., & Raeisi, S. (2021). Encapsulation of fish oil by carrageenan and gum tragacanth as wall materials and its application to the enrichment of chicken nuggets. LWT, 137, 110334. <https://doi.org/10.1016/j.lwt.2020.110334>

Pourashouri, P., Chapela, M. J., Atanassova, M., Cabado, A. G., Vieites, J. M., & Aubourg, S. P. (2013). Quality loss assessment in fish-based ready-to-eat foods during refrigerated storage. grasas y aceites, 64(1), 22-29.

Ramirez, J.A., Uresti, R.M., Velazquez, G., and Vazquez, M. (2010). Food hydrocolloids as additives to improve the mechanical and functional properties of fish products: A review. Journal of Food Hydrocolloids. 25: 1842-1852. <https://doi.org/10.1016/j.foodhyd.2011.05.009>

Shabaniour, B., Kashiri, H., Moloudi, Z., & Hoseininezhad, A.S. 2007. Effects of washing bouts and times on surimi quality prepared from common carp (*Cyprinus carpio*). Iranian Scientific Fisheries Journal, Vol. 16, No. 1, Spring, 81-92.

Sun, X.D.; Holley, R.A. (2011). Factors influencing gel formation by myofibrillar proteins in muscle foods. Compr. Rev. Food Sci. Food Safety, 10, 33–51. <https://doi.org/10.1111/j.1541-4337.2010.00137.x>

Varela, P., and Fiszman, S.M. (2011). Review: Hydrocolloids in fried food. Journal of Food Hyrocolloids. 25: 1801-1812. <https://doi.org/10.1016/j.foodhyd.2011.01.016>

Yingchutrakul, M., Wasinnitiwong, N., Benjakul, S., Singh, A., Zheng, Y., Mubango, E., ... & Hong, H. (2022). Asian carp, an alternative material for surimi production: progress and future. Foods, 11(9), 1318. <https://doi.org/10.3390/foods11091318>

Zhang, T., Li, Z., Wang, Y., Xue, Y., & Xue, C. (2016). Effects of konjac glucomannan on heat-induced changes of physicochemical and structural properties of surimi gels. Food Research International, 83, 152-161. <https://doi.org/10.1016/j.foodres.2016.03.007>

سُلَيْمَانٌ  
بْنُ الْأَكْبَرِ